

# ПОДАВЛЕНИЕ ВЫНУЖДЕННОГО РАССЕЯНИЯ МАНДЕЛЬШТАМА – БРИЛЛЮЭНА В ЛАЗЕРНОЙ ПЛАЗМЕ ПРИ МНОГОЧАСТОТНОМ РЕЖИМЕ ОБЛУЧЕНИЯ МИШЕНИ

*Н. Н. Демченко\*, Р. Д. Ивановских*

*Физический институт им. П. Н. Лебедева Российской академии наук  
119991, Москва, Россия*

Поступила в редакцию 15 февраля 2022 г.,  
после переработки 15 февраля 2022 г.  
Принята к публикации 21 февраля 2022 г.

Рассмотрены условия, при которых возможно частично подавить вынужденное рассеяние Мандельштама–Бриллюэна в лазерной плазме. При подавлении вынужденного рассеяния удается увеличить долю поглощенной лазерной энергии. Приведена аналитическая теория вынужденного рассеяния при взаимодействии двух встречных электромагнитных волн с ионно-звуковой волной в неоднородной разлетающейся плазме. Получены формулы, позволяющие вычислить коэффициент рассеяния и долю рассеянного излучения по заданным параметрам лазерного излучения и плазмы. Проведено численное моделирование процесса облучения  $\text{CH}_2$ -мишени лазерным импульсом. Показано, что при многочастотном (две частоты и более) режиме облучения удается увеличить долю поглощенной лазерной энергии в плазме за счет частичного подавления вынужденного рассеяния. При плотности потока падающего излучения Nd-лазера  $5 \cdot 10^{14}$  Вт/см<sup>2</sup> в случае двух близких частот минимальная доля рассеяния составляет 0.87 от доли рассеяния, возникающей при одночастотном облучении. С ростом числа гармоник  $n$  в излучении подавление рассеяния увеличивается:  $\delta_{sn}/\delta_{s1} = 0.68$  при  $n = 5$  ( $\delta_{sn}$  — доля рассеяния в случае  $n$  гармоник);  $\delta_{sn}/\delta_{s1} = 0.51$  при  $n = 11$ . Такие значения  $\delta_{sn}/\delta_{s1}$  достигаются при  $\Delta\omega_s/\omega_0 \approx 0.5\text{--}1.5\%$  в зависимости от числа гармоник ( $\Delta\omega_s$  — ширина спектра,  $\omega_0$  — основная частота). При  $\Delta\omega_s/\omega_0 > 1.5\%$  отношения  $\delta_{sn}/\delta_{s1}$  меняются слабо. Подавление вынужденного рассеяния происходит из-за биений, возникающих в излучении при сложении гармоник с близкими частотами. Подавление наступает, когда длина волны биений становится меньше характерного размера изменения скорости плазмы.

DOI: 10.31857/S0044451022060000  
EDN: EFAPSA

## 1. ВВЕДЕНИЕ

Коэффициент усиления лазерной термоядерной мишени (отношение выделившейся энергии ядерных реакций к тепловой энергии плазмы) должен быть достаточно большим, чтобы компенсировать потери энергии, связанные с низким коэффициентом полезного действия лазера, потерями энергии вместе с разлетающейся плазмой, а также неполным поглощением лазерного излучения. Эффективность поглощения может быть снижена из-за процесса вынужденного рассеяния Мандельштама–Бриллюэна (ВРМБ). Вынужденное рассеяние пре-

пятствует прохождению лазерного излучения в более плотную плазму, где коэффициент поглощения выше. В разлетающейся лазерной плазме при нормальном падении излучения вынужденное рассеяние происходит при взаимодействии двух встречных электромагнитных волн с ионной волной [1]. При этом входящая в плазму электромагнитная волна ослабляется, а выходящая волна усиливается. Выходящая волна сначала возникает в результате линейного процесса отражения падающей волны от критической поверхности. Волновые векторы электромагнитных волн в общем случае составляют между собой угол, который меньше  $180^\circ$ . При многопучковом облучении сферической мишени встречные волны возникают как при отражении излучения одного пучка от поверхности каустики, так и при рефракции излучения от других пучков [2, 3]. Такой вид рассеяния был назван СВЕТ (crossed-beam energy

\* E-mail: demchenkon@lebedev.ru

transfer).

В настоящее время рассеяние СВЕТ широко исследуется теоретически и экспериментально. Исследовано его влияние на уменьшение гидродинамической эффективности сжимаемых сферических мишеней [4, 5]. Рассеяние СВЕТ может проявляться и в схемах непрямого облучения мишени, когда лазерные пучки перекрываются во входных отверстиях полости. В этом случае предлагается использовать небольшой частотный сдвиг (порядка нескольких ангстрем) между перекрывающимися пучками [6–8]. С помощью частотного сдвига можно управлять процессом рассеяния и изменять угловое распределение падающего лазерного потока внутри полости.

В работе [2] предложен способ уменьшения доли рассеянного излучения при прямом многопучковом облучении мишени. Предложено использовать многочастотный режим облучения. Предполагается, что часть пучков должна иметь частоту излучения, немного отличающуюся от частоты в других пучках. Если рассмотреть две группы пучков, в которых разность частот  $\Delta\omega \gg \omega_0 c_s / c$ , где  $\omega_0$  — основная частота лазера,  $c_s$  — скорость звука в плазме,  $c$  — скорость света, то пересечение таких пучков не приведет к рассеянию [2]. При равенстве числа пучков в группах доля рассеяния должна уменьшиться в два раза. Это предположение нуждается в проверке. Точное рассмотрение задачи с двумя и более частотами усложняется тем, что при сложении полей возникают биения волн. Кроме размера неоднородности плазмы, где происходит рассеяние, в этом случае возникает еще один размер — длина волны биений  $\lambda_b$ . Волны биений распространяются с групповой скоростью  $v_g$ , которая стремится к нулю при приближении к критической поверхности. Поэтому существует некоторая область вблизи критической поверхности, в которой условия рассеяния не меняются при использовании многочастотного режима облучения. Период биений  $\lambda_b / v_g$  становится большим и сравнивается с длительностью лазерного импульса.

Из-за сложности аналитического исследования задачи о многочастотном облучении плазмы мы использовали численный метод, в котором рассматривались уравнения гидродинамики плазмы с учетом пондеромоторной силы в уравнении движения и уравнения Максвелла для каждой из парциальных волн на частоте  $\omega_k$  [9, 10]. В работе [11] рассматривалась задача о подавлении рассеяния СВЕТ при многочастотном облучении плазмы. В ней рассматривались уравнения для акустических возмущений плотности плазмы при заданных невозмущенных про-

странственных распределениях плотности и скорости. Кроме того, уравнения Максвелла решались в предположении, что  $|\partial^2 E_0 / \partial t^2| \ll |\omega_0 \partial E_0 / \partial t|$ , где  $E_0$  — медленно меняющаяся амплитуда поля. Поэтому вторая производная амплитуды поля не учитывалась. Однако при биениях производная  $\partial E_0 / \partial t = 0$  в максимуме амплитуды, а член  $\partial^2 E_0 / \partial t^2$  при этом достигает максимума. Поэтому модель, предложенная в работе [11], не точно описывает биения волн. Прежде чем перейти к результатам численных расчетов для многочастотного облучения плазмы, рассмотрим аналитическую теорию рассеяния СВЕТ в лазерной плазме при одночастотном облучении.

## 2. ВЫНУЖДЕННОЕ РАССЕЯНИЕ СВЕТ ПРИ ВЗАИМОДЕЙСТВИИ ДВУХ ВСТРЕЧНЫХ ЭЛЕКТРОМАГНИТНЫХ ВОЛН С ИОННОЙ ВОЛНОЙ

Рассмотрим лазерную плазму, в которой плотность и скорость меняются вдоль координаты  $x$ , плотность уменьшается, а скорость возрастает. Лазерное излучение при этом падает в направлении, противоположном направлению оси  $x$ . Уравнения, описывающие изменение интенсивностей падающей  $q_0$  и рассеянной  $q_1$  волн без учета поглощения, получены в [1]:

$$\frac{dq_0}{dx} = Bq_0q_1, \tag{1}$$

$$\frac{dq_1}{dx} = Bq_0q_1, \tag{2}$$

$$B = \frac{\mu M k^2 G}{c\beta\rho_c^2 c_s^3}, \tag{3}$$

где

$$G = \left[ (M^2 - 1)^2 + \left( \frac{2\mu k\beta M}{\rho c_s} \right)^2 \right]^{-1},$$

$\omega$  и  $k = \omega/c$  — частота и волновое число лазера,  $\beta = \sqrt{\varepsilon} = \sqrt{1 - \rho/\rho_c}$ ,  $\rho$  — плотность плазмы,  $\rho_c$  — критическая плотность,  $c_s$  — скорость звука,  $M = u/c_s$  — число Маха,  $\mu$  — коэффициент ионной вязкости. Безразмерный множитель  $G$  в (3) имеет резонансный характер зависимости от числа Маха  $M$  с точкой резонанса  $M = 1$ . Из уравнений (1), (2) можно получить уравнение для коэффициента отражения  $R = q_1/q_0$ . Для этого надо умножить уравнение (1) на  $q_1$ , а уравнение (2) на  $q_0$  и вычесть из первого уравнения второе. В результате получаем

$$\frac{dR}{dx} = BqR, \tag{4}$$

где  $q = q_0 - q_1 = \text{const}$  (это следует из (1), (2), если вычесть (2) из (1)). С помощью (4) можно решить граничную задачу, в которой слева от точки резонанса  $M = 1$  задан коэффициент отражения  $R_L$ , а справа — падающий поток  $q_{0R}$ . Интегрирование выражения (4) дает

$$R_R = R_L \exp[b(1 - R_R)], \quad (5)$$

$$b = q_{0R} \int_{x_L}^{x_R} B dx \equiv q_{0R} I. \quad (6)$$

Интеграл  $I$  в (6) можно вычислить, если перейти от интегрирования по  $x$  к интегрированию по  $M$ :  $dx = L_u dM$ , где  $L_u = c_s (\partial u / \partial x)_s^{-1}$  — характерный размер изменения скорости в точке резонанса  $M = 1$ . Отметим, что скорость плазмы должна рассматриваться относительно максимумов (или минимумов) пондеромоторного давления  $p_r$ , которые движутся вместе с движением критической поверхности. Поэтому достаточно рассматривать скорость относительно критической поверхности. Учитывая, что резонанс в точке  $M = 1$  является узким по переменной  $M$  (это будет рассмотрено ниже), в диссипативном члене функции  $G$  в (3) можно приближенно считать  $M = 1$ , а также взять значения  $\rho$  и  $\beta$  в точке  $M = 1$ . Тогда с помощью замены

$$s = \frac{M^2 - 1}{a}, \quad a = \frac{2\mu k \beta_s}{\rho_s c_s} \quad (7)$$

получаем

$$I = \frac{k L_u (1 - \varepsilon_s)^2}{4c \varepsilon_s \rho_s c_s^2} \arctg s|_{s_L}^{s_R}. \quad (8)$$

Коэффициент вязкости  $\mu$  входит в выражение (8) только в пределы интегрирования  $s_L$  и  $s_R$ . Если эти пределы велики по абсолютному значению, то в (8) вместо функции  $\arctg$  будет стоять число  $\pi$  и коэффициент вязкости не будет входить в  $I$ . Это свойство является характерным для любого резонанса. От диссипативного коэффициента зависят лишь ширина и максимум резонансной функции, а интеграл остается одним и тем же.

Пределы интегрирования  $s_L$  и  $s_R$  по порядку величины равны  $1/a = \rho_s c_s / 2\mu k \beta_s$ . Рассмотрим коэффициент ионной вязкости  $\mu = \rho v_{Ti} l_i$ , где  $v_{Ti}$  и  $l_i$  — соответственно тепловая скорость и длина пробега ионов. Такой коэффициент применим, если длина пробега ионов меньше длины волны  $\lambda$  пространственных осцилляций скорости. В противном случае

необходимо использовать ограниченный коэффициент вязкости. Вязкостное давление можно записать в виде  $p_v = \rho v_{Ti} \Delta u$ , где  $\Delta u = l_i \partial u / \partial x$  в случае  $l_i < \lambda$ . При  $l_i > \lambda$  в качестве  $\Delta u$  необходимо использовать максимальное изменение скорости  $\Delta u = u_{max} - u_{min}$ . Вместо  $l_i$  необходимо использовать эффективную величину  $l_{eff}$  порядка  $\lambda$ .

Определим более точно  $l_{eff}$ . Если возмущение скорости имеет вид  $u_1 = \Delta u \sin^2 kx$ , то максимум ее производной достигается при  $kx = \pi/4$ , и он равен  $\Delta u k$ . Эффективную величину  $l_{eff}$  определяем из соотношения  $l_{eff} (\partial u_1 / \partial x)_{max} = \Delta u$ . Так как  $(\partial u_1 / \partial x)_{max} = \Delta u k$ , то  $l_{eff} = 1/k = \lambda/2\pi$ . В лазерной плазме, как правило,  $l_i > \lambda/2\pi$ . Например, в условиях эксперимента на установке NIF (National Ignition Facility, США) [12] при температуре ионов 2.5 кэВ в СН-плазме  $l_i = 0.66$  мкм [13], а  $\lambda/2\pi = 0.056$  мкм. В этом случае в коэффициенте вязкости необходимо использовать  $l_{eff}$ . Отметим, что диссипация плотности импульса  $\rho \Delta u$  должна происходить на кулоновской длине пробега  $l_i$ . Для этого необходимо выполнение условия  $l_i \ll L_u$ , что в лазерной плазме, как правило, выполняется (в условиях отмеченного эксперимента на установке NIF  $L_u$  составляет несколько сот микрометров).

В изложенной модели изучалась столкновительная диссипация ионных возмущений. В литературе рассматривается также бесстолкновительная диссипация на электронах. Бесстолкновительная диссипация на ионах с зарядом  $Z$  при  $Z T_e \gg T_i$  мала, так как скорость звука определяется в основном электронным давлением. При этом в резонансе с волной находится экспоненциально малая часть ионов. Бесстолкновительная диссипация на электронах также мала из-за малости отношения масс электрона и иона [14]:

$$\gamma / \omega_s = \sqrt{\pi Z m_e / 8 m_i},$$

где  $\gamma$  и  $\omega_s$  — декремент затухания и частота ионного звука,  $m_e$  и  $m_i$  — массы электрона и иона.

Сравним бесстолкновительную диссипацию на электронах со столкновительной диссипацией за счет ионной вязкости. Бесстолкновительная диссипация в уравнении движения записывается в виде

$$\frac{\partial u}{\partial t} + u \frac{\partial u}{\partial x} = -\frac{1}{\rho} \frac{\partial}{\partial x} (p_T + p_r) - \gamma \delta u, \quad (9)$$

где  $u = u_0 + \delta u$ ,  $u_0$  — невозмущенная скорость,  $\delta u$  — возмущение скорости, вызванное пондеромоторным давлением  $p_r$ ,  $p_T$  — тепловое давление. Запишем член бесстолкновительной диссипации  $\gamma \delta u$  в виде эффективного вязкостного члена:

$$\gamma \delta u = -\frac{\mu_\gamma}{\rho} \frac{\partial^2 \delta u}{\partial x^2}. \quad (10)$$

Поскольку  $\delta u$  является осциллирующей функцией координаты  $x$ , взятие производной по  $x$  равносильно умножению на волновое число  $k_s$ . Тогда из (10) следует выражение  $\mu_\gamma = \gamma \rho c_s^2 / \omega_s^2$ . Сравним коэффициент  $\mu_\gamma$  со столкновительным коэффициентом  $\mu = \rho v_{Ti} l_{eff}$  при  $l_{eff} = \lambda / 2\pi$  (рассматриваем ограниченную вязкость). Для отношения этих коэффициентов получаем

$$\frac{\mu_\gamma}{\mu} = \sqrt{\frac{\pi Z m_e}{8 m_i} \left(1 + \frac{Z T_e}{T_i}\right)}.$$

Так как  $m_e / m_i \ll 1$ , а в условиях лазерной плазмы отношение  $Z T_e / T_i$  не настолько большое, чтобы компенсировать малость  $m_e / m_i$ , получаем  $\mu_\gamma / \mu \ll 1$ . Поэтому в лазерной плазме при  $p_r < p_T$  бесстолкновительной диссипацией ионных возмущений можно пренебречь. Если  $p_r > p_T$ , то возможен нагрев ионов, при котором  $T_i > Z T_e$  [15]. В этом случае возникает сильное затухание на ионах.

Как отмечено выше, пределы интегрирования  $s_L$  и  $s_R$  в (8) по порядку величины равны  $\rho_s c_s / 2\mu k \beta_s$ . Если рассматривать ограниченную вязкость  $\mu = \rho_s v_{Ti} \lambda / 2\pi$ , где  $\lambda / 2\pi = 1 / k \beta$ , то можно получить, что масштаб  $s_L$  и  $s_R$  определяется отношением  $c_s / 2v_{Ti}$ , которое много больше единицы. Характерная ширина резонанса определяется значениями  $s_L^* = -1$  и  $s_R^* = 1$ . Используя соотношения (7), можно получить значения  $M_L^*$  и  $M_R^*$ ,

$$M_L^* = \sqrt{1 - \frac{2v_{Ti}}{c_s}}, \quad M_R^* = \sqrt{1 + \frac{2v_{Ti}}{c_s}}, \quad (11)$$

которые незначительно отличаются от единицы. Это подтверждает то, что резонанс является достаточно узким по переменной  $M$ . Так как  $s_L \ll -1$  и  $s_R \gg 1$ , то в (8) вместо функции  $\arctg$  будет стоять множитель  $\pi$ , и выражение (6) будет иметь вид

$$b = \frac{\pi q_{0R} k L_u (1 - \varepsilon_s)^2}{4c\varepsilon_s \rho_s c_s^2}. \quad (12)$$

Для определения  $R_R$  из (5) можно ввести отношение  $\xi = R_R / R_L$  и искать эту величину из уравнения

$$\xi = \exp[-b(1 - R_L \xi)]. \quad (13)$$

Это уравнение решается итерациями. Если  $b(1 - R_L \xi) < 1$ , то, заменяя экспоненту линейной функцией, находим приближенное решение:

$$\frac{R_R}{R_L} = \frac{1 + b}{1 + b R_L}. \quad (14)$$

Если найдено значение  $R_R$ , то  $q_{0L}$  можно найти, используя соотношение  $q = q_0 - q_1 = \text{const}$ . Равенство полного потока  $q_L = q_R$  дает

$$q_{0L} = q_{0R} \frac{1 - R_R}{1 - R_L}. \quad (15)$$

Отметим, что в случае  $q_0 \gg q_1$  в (2) можно считать  $q_0$  постоянной величиной. Тогда для рассеянного потока  $q_1$  получаем выражение  $q_{1R} / q_{1L} = \exp(\kappa_s L_u)$ , где  $\kappa_s$  — коэффициент рассеяния:

$$\kappa_s = \frac{\pi q_{0R} k (1 - \varepsilon_s)^2}{4c\varepsilon_s \rho_s c_s^2}. \quad (16)$$

Рассмотренная граничная задача имеет практический интерес при использовании этой модели рассеяния СВЕТ в гидродинамических расчетах, где лазерное излучение описывается с помощью потоков падающего и отраженного от точки поворота излучения.

### 3. ЧИСЛЕННОЕ МОДЕЛИРОВАНИЕ ПОДАВЛЕНИЯ РАССЕЯНИЯ СВЕТ ПРИ ОБЛУЧЕНИИ МИШЕНИ ЛАЗЕРНЫМ ИЗЛУЧЕНИЕМ, ИМЕЮЩИМ СПЕКТР БЛИЗКИХ ЧАСТОТ

Для расчета взаимодействия с плазмой лазерного излучения, имеющего конечную ширину спектра, была доработана существующая гидродинамическая программа RAPID-SP [9]. Новая версия позволяет проводить расчеты с учетом любого числа гармоник в падающем лазерном излучении. Физическая модель основывается на уравнениях гидродинамики плазмы (одномерная модель для плоской геометрии) и уравнениях Максвелла для лазерного излучения при нормальном падении на плазму.

Пусть лазерное излучение падает в направлении, противоположном направлению оси  $x$ , а электромагнитное поле волны имеет компоненты  $E_y$  и  $H_z$  (далее у полей индексы координат опускаем). Для уравнений гидродинамики используем лагранжевы переменные  $(m, t)$ . Система уравнений имеет вид

$$\frac{\partial V}{\partial t} = \frac{\partial u}{\partial m}, \quad \frac{\partial x}{\partial t} = u, \quad (17)$$

$$\frac{\partial u}{\partial t} = -\frac{\partial}{\partial m}(p_T + p_r + p_v), \quad (18)$$

$$\frac{\partial \varepsilon_e}{\partial t} = -p_{Te} \frac{\partial V}{\partial t} - \frac{\partial q_{Te}}{\partial m} - Q_{ei}(T_e - T_i) + \frac{V}{2} \sigma |E|^2, \quad (19)$$

$$\frac{\partial \varepsilon_i}{\partial t} = -(p_{Ti} + p_v) \frac{\partial V}{\partial t} - \frac{\partial q_{Ti}}{\partial m} + Q_{ei}(T_e - T_i), \quad (20)$$

$$\frac{dE_k}{dx} = \frac{i\omega_k}{c} H_k, \quad (21)$$

$$\frac{dH_k}{dx} = \frac{i\omega_k}{c} \varepsilon(\omega_k) E_k, \quad (22)$$

где  $V = 1/\rho$  – удельный объем,  $u$  – скорость,  $p_T = p_{Te} + p_{Ti}$  – тепловое давление,  $p_r$  – пондеромоторное давление,  $p_v = -\mu \partial u / \partial x$  – вязкостное давление,  $q_{Te}$  и  $q_{Ti}$  – электронный и ионный тепловые потоки,  $\varepsilon_e$  и  $\varepsilon_i$  – удельные внутренние энергии электронов и ионов,  $Q_{ei}$  – коэффициент электрон-ионной релаксации,  $|E|$  – амплитуда электрического поля лазерного излучения,  $\sigma$  – высокочастотная проводимость плазмы на основной частоте лазера (предполагается, что ширина спектра излучения является узкой),  $E_k(x)$  и  $H_k(x)$  – комплексные фурье-компоненты электрического и магнитного полей на частоте  $\omega_k$ . Суммарные поля можно записать в виде

$$E = E_s(x, t) \exp(-i\omega_0 t), \quad H = H_s(x, t) \exp(-i\omega_0 t),$$

где медленно меняющиеся амплитуды  $E_s$  и  $H_s$  записываются в виде

$$E_s(x, t) = \sum_{k=-K}^K E_k(x) e^{-ik\Delta\omega t}, \quad (23)$$

$$H_s(x, t) = \sum_{k=-K}^K H_k(x) e^{-ik\Delta\omega t}. \quad (24)$$

Здесь  $k\Delta\omega = \omega_k - \omega_0$ ,  $\Delta\omega$  – шаг по частоте,  $\omega_0$  – основная частота. Распределение интенсивностей  $I_k$  парциальных волн по частотам в принципе может быть любым. В частности использовалась лоренцева форма линии:

$$I_k = \frac{A}{(\omega_k - \omega_0)^2 + \gamma_L^2}, \quad (25)$$

где  $\gamma_L$  – ширина линии,  $A$  – нормировочный множитель, сумма интенсивностей  $I_k$  должна равняться усредненной по времени (за период биений) падающей лазерной интенсивности. Задавая в (25) величину  $\gamma_L$  очень большой (по сравнению с  $\omega_k - \omega_0$ ), можно моделировать равномерное распределение интенсивности по частотам. Пондеромоторное давление в (18) записывается в виде

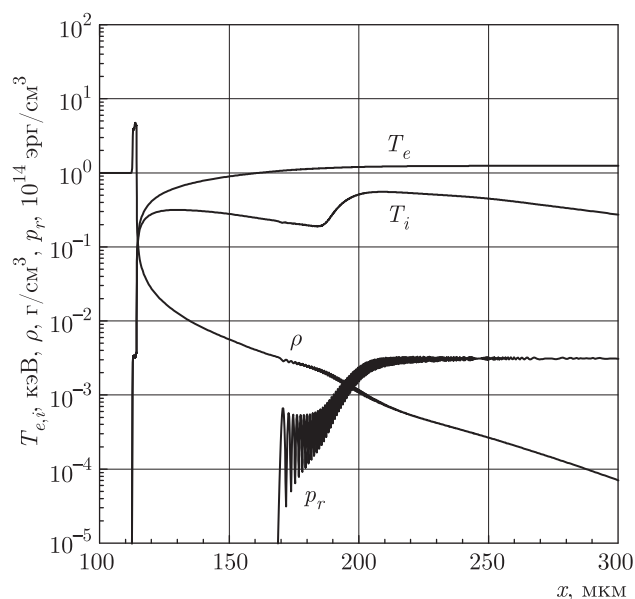
$$p_r = \frac{1}{16\pi} (|E|^2 + |H|^2). \quad (26)$$

Комплексная диэлектрическая проницаемость в (22) задается в виде  $\varepsilon = \varepsilon_1 + i\varepsilon_2$ . Действительная часть  $\varepsilon_1 = 1 - \omega_{pe}^2/\omega_k^2$ , где  $\omega_{pe}^2 = 4\pi e^2 n_e / m_e$  –

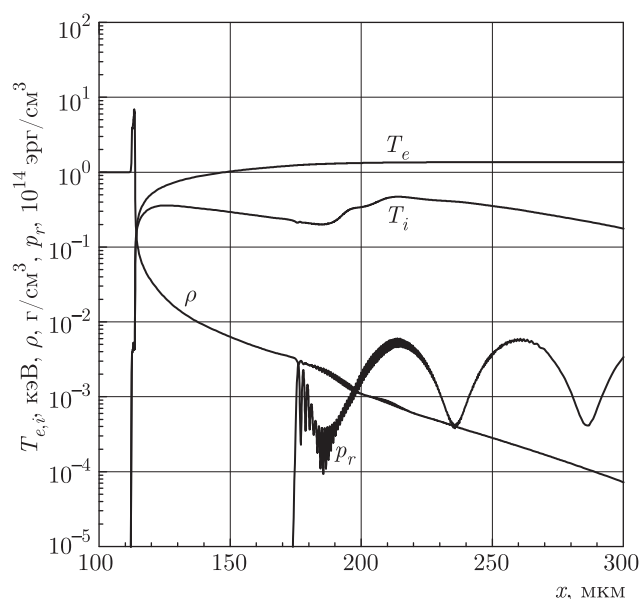
плазменная частота. Мнимая часть  $\varepsilon_2 = \omega_{pe}^2 \nu_{ei} / \omega_0^3$ , где  $\nu_{ei}$  – электрон-ионная частота столкновений.

Метод решения уравнений (21), (22) одинаков для всех гармоник. Делается переход от полей  $E$  и  $H$  к падающей и отраженной волнам  $P$  и  $R$ . При этом возникает уравнение для функции коэффициента отражения  $V_R = R/P$ . Описание этого метода приведено в работе [10]. Плазма представляется в виде набора тонких слоев (счетных ячеек) с постоянными плотностью и температурой в каждом слое. Внутри каждого слоя используются аналитические решения для  $P$ ,  $R$  и  $V_R$ . Сначала расчет идет слева направо для определения  $V_R$ , затем в обратном направлении для определения всех остальных функций. Размер счетной ячейки должен быть значительно меньше длины волны излучения. Поэтому для описания взаимодействия с плазмой, имеющей большой характерный размер неоднородности по сравнению с длиной волны излучения, требуется большое число счетных ячеек (в рассмотренных ниже расчетах число ячеек составляло около трех тысяч).

Рассмотрим результаты расчетов, целью которых было определение влияния на процессы поглощения и рассеяния биений пондеромоторного потенциала, обусловленных конечной шириной спектра лазерного излучения. Расчеты проводились для  $\text{CH}_2$ -мишени при плотности потока лазерного излучения в диапазоне  $5 \cdot 10^{14} - 10^{15}$  Вт/см<sup>2</sup> при длине волны 1.06 мкм. Рассматривалась постоянная во времени форма импульса. На рис. 1 показаны профили пондеромоторного давления  $p_r$ , плотности  $\rho$ , электронной  $T_e$  и ионной  $T_i$  температур плазмы в момент времени 0.2 нс при воздействии лазерного излучения с одной частотой ( $\omega_0 = 1.8 \cdot 10^{15}$  с<sup>-1</sup>) при плотности потока  $5 \cdot 10^{14}$  Вт/см<sup>2</sup>. На рисунках лазерное излучение падает справа. На рис. 2 приведены профили тех же величин и в тот же момент времени при воздействии лазерного излучения с двумя близкими частотами при той же плотности потока. Гармоники имели одинаковую амплитуду, разность частот  $\Delta\omega = 0.02\omega_0$ . Сравнение рис. 1 и 2 приводит к следующим выводам. В случае одной частоты возникает значительное вынужденное рассеяние. Пондеромоторное давление  $p_r$  падает почти на порядок величины по мере приближения к критической поверхности (для  $\text{CH}_2$ -мишени критическая плотность равна  $2.98 \cdot 10^{-3}$  г/см<sup>3</sup>). В случае двух частот происходит меньшее падение пондеромоторного давления. Видна структура биений  $p_r$ . Здесь биения – это сложение падающей и отраженной волн биений. Поэтому получается волна биений типа стоячей вол-



**Рис. 1.** Профили ponderomotive давления  $p_r$ , плотности  $\rho$ , электронной  $T_e$  и ионной  $T_i$  температур в момент времени 0.2 нс при воздействии на  $\text{CH}_2$ -мишень лазерного излучения с одной частотой ( $\omega_0 = 1.8 \cdot 10^{15} \text{ c}^{-1}$ ) при плотности потока  $5 \cdot 10^{14} \text{ Вт/см}^2$



**Рис. 2.** То же, что на рис. 1, но при воздействии на  $\text{CH}_2$ -мишень лазерного излучения с двумя близкими частотами при плотности потока  $5 \cdot 10^{14} \text{ Вт/см}^2$ . Гармоники имели одинаковую амплитуду, разность частот  $\Delta\omega = 0.02\omega_0$ ,  $\omega_0 = 1.8 \cdot 10^{15} \text{ c}^{-1}$

ны, у которой есть узлы и максимумы амплитуды. В случае одной частоты вынужденное рассеяние возникает на масштабе длины, определяемой характерным размером неоднородности плотности плазмы. В случае двух частот масштаб длины, на которой возникает рассеяние, определяется длиной волны биеений ponderomotive потенциала, а точнее, расстоянием между узлом и максимумом амплитуды. Это приводит к тому, что доля  $\delta_a$  поглощенной лазерной энергии в случае двух частот больше по сравнению со случаем одной частоты в 1.34 раза.

Для большей наглядности различия рассеяния в приведенных выше двух случаях на рис. 3 показаны те же зависимости плотности и ponderomotive давления, что и на рис. 1 и 2, однако масштабы по осям изменены. В случае двух частот (рис. 3б) видно разделение области рассеяния на две подобласти. В узле стоячей волны возмущения плотности отсутствуют.

Отметим, что рассеяние излучения на возмущениях плотности приводит к передаче плазме импульса от излучения. Это приводит к некоторой деформации профиля средней плотности и уменьшению ее размера неоднородности. Этот эффект можно видеть на рис. 1 и 2, однако при плотности потока  $5 \cdot 10^{14} \text{ Вт/см}^2$  он выражен слабо. Поэтому был проведен расчет при плотности потока, увеличен-

**Таблица 1**

$\tau_L$ , нс	$\delta_{a1}$	$\delta_{a2}$	$\delta_{a3}$	$\delta_{a5}$
0.2	0.0905	0.121	0.126	0.124
0.4	0.121	0.159	0.178	0.187
0.6	0.148	0.198	0.222	0.250
0.8	0.168	0.224	0.251	0.284

**Таблица 2**

$\tau_L$ , нс	$\delta_{a2}/\delta_{a1}$	$\delta_{a3}/\delta_{a1}$	$\delta_{a5}/\delta_{a1}$
0.2	1.337	1.392	1.370
0.4	1.314	1.471	1.545
0.6	1.338	1.500	1.689
0.8	1.333	1.494	1.690

ной в два раза. На рис. 4 показаны профили тех же величин что и на рис. 1, но для плотности потока  $10^{15} \text{ Вт/см}^2$  в момент времени 0.09 нс. Здесь можно видеть значительную деформацию профиля средней плотности. Это влияет на долю рассеянного излучения. С одной стороны, доля рассеяния растет из-за увеличения интенсивности излучения и, соот-

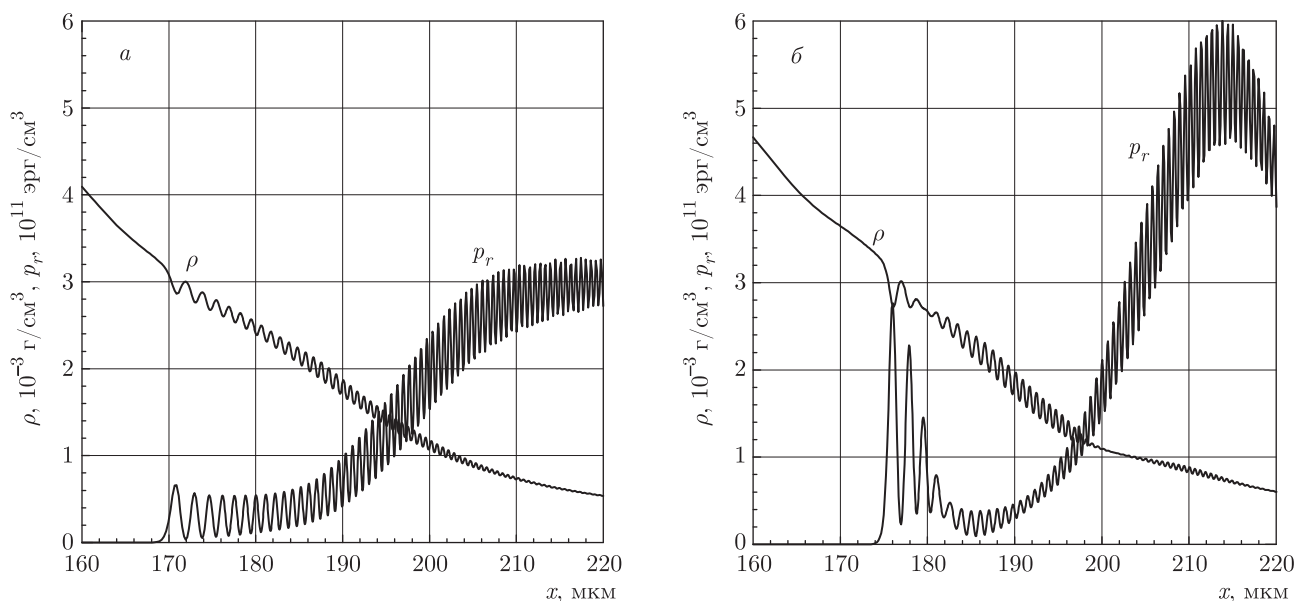


Рис. 3. Профили ponderomotive давления  $p_r$  и плотности  $\rho$  из рис. 1 (а) и рис. 2 (б), показанные в измененных масштабах по осям

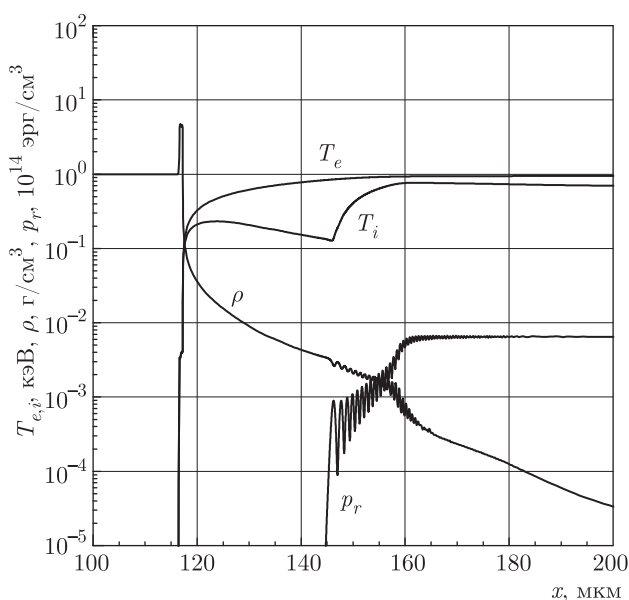


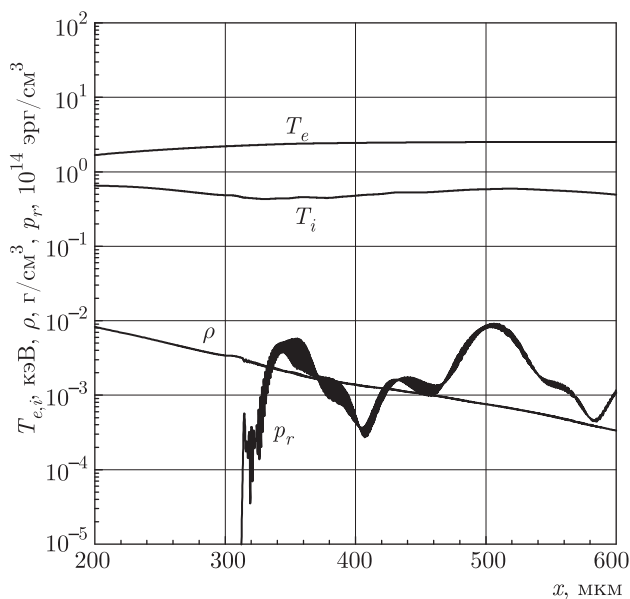
Рис. 4. Профили ponderomotive давления  $p_r$ , плотности  $\rho$ , электронной  $T_e$  и ионной  $T_i$  температур в момент времени 0.09 нс при воздействии на  $\text{CH}_2$ -мишень лазерного излучения с одной частотой ( $\omega_0 = 1.8 \cdot 10^{15} \text{ c}^{-1}$ ) при плотности потока  $10^{15} \text{ Вт/см}^2$

ответственно, амплитуды возмущений. С другой стороны, есть уменьшение размера неоднородности, которое приводит к снижению доли рассеяния.

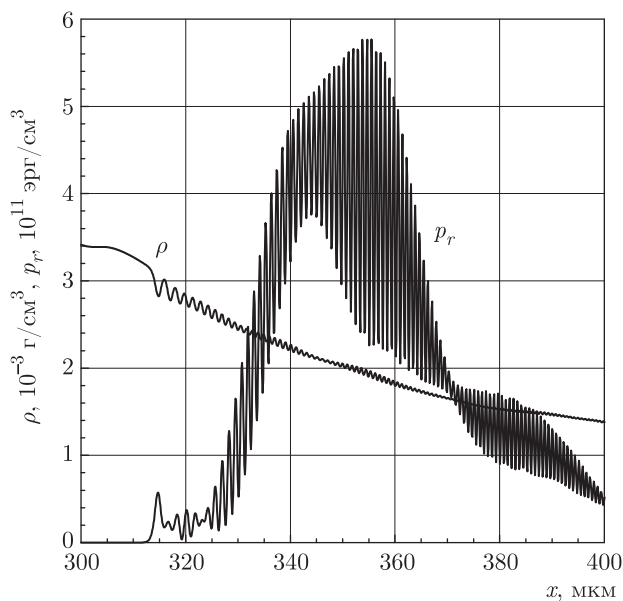
Рассмотрим зависимость эффекта подавления вынужденного рассеяния (соответственно, увеличе-

ния эффективности поглощения) от длительности лазерного импульса  $\tau_L$  и от числа гармоник в лазерном излучении,  $n$ . Для этого были проведены расчеты с  $n = 1, 2, 3$  и  $5$  при суммарной ширине  $\Delta\omega_s = 3.6 \cdot 10^{13} \text{ c}^{-1}$  ( $\Delta\omega_s/\omega_0 = 0.02$ ) и плотности потока  $5 \cdot 10^{14} \text{ Вт/см}^2$ . Спектральное распределение интенсивности было равномерным (гармоники равной амплитуды) при постоянной во времени плотности потока. В табл. 1 приведены значения доли  $\delta_{an}$  поглощенной лазерной энергии в зависимости от длительности импульса  $\tau_L$  и числа гармоник  $n$ . В табл. 2 приведены отношения  $\delta_{an}/\delta_{a1}$ , характеризующие увеличение эффективности поглощения в зависимости от длительности импульса и числа гармоник. Как следует из таблиц, с ростом длительности импульса растет и эффективность поглощения при любом числе гармоник в импульсе (табл. 1). Однако эффект подавления вынужденного рассеяния становится более сильным с ростом числа гармоник в излучении (табл. 2, увеличение поглощения в 1.69 раза в случае пяти гармоник).

На рис. 5 приведены профили  $p_r$ ,  $\rho$ ,  $T_e$  и  $T_i$  в окрестности критической плотности в момент времени 0.6 нс для варианта излучения с пятью гармониками. На рис. 6 более подробно показаны профили  $p_r$  и  $\rho$  из рис. 5 (изменены масштабы по осям). На рис. 5 видно, что в случае пяти гармоник существует несколько характерных размеров по оси  $x$ , на которых изменяется  $p_r$ . Из рис. 6 следует, что область рассеяния распадается на несколько подоблас-



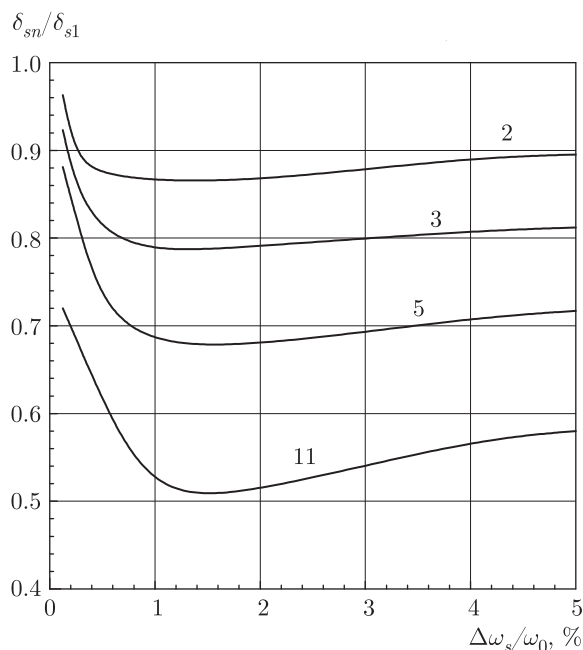
**Рис. 5.** То же, что на рис. 4, в момент времени 0.6 нс при воздействии на  $\text{CH}_2$ -мишень лазерного излучения с пятью частотами при плотности потока  $5 \cdot 10^{14}$  Вт/см<sup>2</sup>. Гармоники имели одинаковую амплитуду и суммарную ширину спектра  $\Delta\omega_s = 0.02\omega_0$ ,  $\omega_0 = 1.8 \cdot 10^{15}$  с<sup>-1</sup>



**Рис. 6.** Профили пондеромоторного давления  $p_r$  и плотности  $\rho$  из рис. 5, показанные в измененных масштабах по осям

тей. При этом размер основной области рассеяния вблизи критической плотности сокращается.

Проведены расчеты, в которых была выделена доля энергии излучения, теряемая за счет рассея-



**Рис. 7.** Зависимость от ширины спектра  $\Delta\omega_s/\omega_0$  и числа гармоник  $n$  отношения долей рассеянной энергии при многочастотном  $\delta_{sn}$  и одночастотном  $\delta_{s1}$  облучениях. Числами у кривых обозначено число гармоник

ния. Для этого в каждом варианте проводились два расчета. Один расчет учитывал  $p_r$  в уравнении (18), а в другом полагалось  $p_r = 0$ . По разности долей поглощенной энергии вычислялась доля рассеянной энергии. Исследовался вариант облучения  $\text{CH}_2$ -мишени при плотности потока  $5 \cdot 10^{14}$  Вт/см<sup>2</sup> (основная частота  $\omega_0 = 1.8 \cdot 10^{15}$  с<sup>-1</sup>). Доля рассеянной энергии рассматривалась за период времени 0.6 нс от начала импульса. Определены доли рассеянной энергии  $\delta_{sn}$  для излучения, состоящего из  $n$  гармоник ( $n = 1, 2, 3, 5, 11$ ). Распределение интенсивности по гармоникам было равномерным, разность между соседними частотами (при  $n > 2$ ) была одинаковой. Суммарная ширина спектра  $\Delta\omega_s = \omega_{max} - \omega_{min}$  варьировалась.

На рис. 7 приведены зависимости от  $\Delta\omega_s/\omega_0$  отношения  $k_n = \delta_{sn}/\delta_{s1}$ . Это отношение характеризует степень подавления вынужденного рассеяния при многочастотном облучении мишени по сравнению с облучением на одной частоте. Из рис. 7 следует, что доля рассеяния падает с ростом числа гармоник. При  $n = 11$  рассеяние можно подавить почти в два раза.

Зависимости на рис. 7 можно объяснить влиянием следующих факторов. Резкое уменьшение отношения  $k_n$  в окрестности точки  $\Delta\omega_s/\omega_0 = 0$  связано с



тем, что суммарная длина биений, в которых могут возникать возмущения плотности плазмы, сокращается и сравнивается с характерным размером изменения скорости  $L_u$ . Этот размер, согласно выражению (12), определяет величину рассеяния при одночастотном облучении. Суммарная длина, где возникают возмущения плотности, уменьшается с ростом числа гармоник.

При увеличении числа гармоник область рассеяния распадается на отдельные подобласти, и число подобластей растет (см. рис. 3б и 6). При увеличении  $\Delta\omega_s/\omega_0$  для фиксированного значения  $n$  размер одной подобласти с возмущениями плотности уменьшается, а число подобластей растет, так как в этом случае  $L_u$  значительно больше размера одной подобласти. Действительно, увеличение  $\Delta\omega_s$ , согласно (23), (24), равносильно сжатию оси времени и уменьшению временного периода волн биений. При фиксированной групповой скорости этих волн,  $d\omega/dk = c\varepsilon^{1/2}$ , где  $\varepsilon$  берется при  $\omega = \omega_0$ , увеличение  $\Delta\omega_s$  приводит к уменьшению длин волн биений. При этом число подобластей с возмущениями плотности возрастает, так как  $L_u$  почти не изменяется.

Отметим, что на рис. 7 кривые  $\delta_{sn}/\delta_{s1}$  начинаются при  $\Delta\omega_s/\omega_0 > 0$ . Это связано с тем, что рассматривался импульс с конечной длительностью  $\tau = 0.6$  нс, которая приводит к конечной, не равной нулю, ширине спектра  $\Delta\omega_\tau$ . В задаче необходимо выполнение условия  $\Delta\omega_s \gg \Delta\omega_\tau$  для того, чтобы произошло усреднение поглощенной энергии за время значительно большее, чем период волны биения.

В работе [11] получены зависимости, аналогичные приведенным на рис. 7, для случаев  $n = 2, 3$  и для сплошного спектра с относительной шириной  $\Delta\omega_s/\omega_0$ . В случае  $n = 2, 3$  результаты оказались качественно похожими приведенным на рис. 7. В случае сплошного спектра в работе [11] показана возможность полного подавления вынужденного рассеяния. В нашей модели рассматривается дискретный набор частот, а сплошной спектр может быть рассмотрен как предел при увеличении числа гармоник до бесконечности. Согласно рис. 7, тенденция к уменьшению вынужденного рассеяния наблюдается при увеличении числа гармоник. Вопрос о полном подавлении остается открытым, так как модель работы [11] не точно учитывает волны биений (не учитывается вторая производная по времени от амплитуды поля). Всегда будет некоторая окрестность критической плотности, в которой групповая скорость волн близка к нулю и возникнет небольшое рассеяние.

#### 4. ЗАКЛЮЧЕНИЕ

Вынужденное рассеяние СВЕТ может значительно снизить эффективность поглощения лазерного излучения в плазме. Одним из способов подавления рассеяния СВЕТ является использование многочастотного лазерного излучения. Рассмотрены условия, при которых возможно частично подавить рассеяние СВЕТ и увеличить долю поглощенной лазерной энергии. Приведена аналитическая теория рассеяния СВЕТ при взаимодействии двух встречных электромагнитных волн с ионно-звуковой волной в неоднородной разлетающейся плазме. Получены формулы, позволяющие вычислить коэффициент рассеяния и долю рассеянного потока излучения по заданным параметрам лазерного излучения и плазмы.

Проведено численное моделирование процесса облучения  $\text{CH}_2$ -мишени лазерным импульсом. Численная модель основывается на уравнениях гидродинамики плазмы с учетом пондеромоторной силы и уравнениях Максвелла для излучения, имеющего спектр близких частот. В модели самосогласованным образом учитываются возникновение мелкомасштабных возмущений плотности, на которых происходит рассеяние излучения, и обратное влияние рассеяния на размер неоднородности средней плотности плазмы. Показано, что при многочастотном режиме облучения мишени удастся увеличить долю поглощенной лазерной энергии в плазме за счет частичного подавления рассеяния СВЕТ. В случае двух близких частот ( $n = 2$ ) отношение  $k_n = \delta_{sn}/\delta_{s1} = 0.87$ , где  $\delta_{sn}$  — доля рассеянной энергии излучения, состоящего из  $n$  гармоник. С ростом числа гармоник в излучении величина  $k_n$  уменьшается:  $k_n = 0.68$  при  $n = 5$ ,  $k_n = 0.51$  при  $n = 11$ . Такие значения  $k_n$  достигаются при значениях  $\Delta\omega_s/\omega_0$ , лежащих в диапазоне 0.5–1.5% в зависимости от числа гармоник ( $\Delta\omega_s$  — ширина спектра). При  $\Delta\omega_s/\omega_0 > 1.5\%$  значения  $k_n$  меняются слабо.

**Финансирование.** Исследование выполнено при финансовой поддержке Российского научного фонда (проект № 21-11-00102).

#### ЛИТЕРАТУРА

1. Н. Н. Демченко, В. Б. Розанов, ЖЭТФ **103**, 2008 (1993).

2. I. V. Igumenshchev, W. Seka, D. H. Edgell et al., Phys. Plasmas **19**, 056314 (2012).
3. I. V. Igumenshchev, D. H. Edgell, V. N. Goncharov et al., Phys. Plasmas **17**, 122708 (2010).
4. T. R. Boehly, D. L. Brown, R. S. Craxton et al., Opt. Comm. **133**, 495 (1997).
5. V. N. Goncharov, T. S. Sangster, R. Betti et al., Phys. Plasmas **21**, 056315 (2014).
6. N. B. Meezan, L. J. Atherton, D. A. Callahan et al., Phys. Plasmas **17**, 056304 (2010).
7. R. P. J. Town, M. D. Rosen, P. A. Michel et al., Phys. Plasmas **18**, 056302 (2011).
8. G. A. Kyrala, J. L. Kline, S. Dixit et al., Phys. Plasmas **18**, 056307 (2011).
9. N. N. Demchenko and V. B. Rozanov, ECLIM 2002, Proc. SPIE **5228**, 427 (2003).
10. Ю. В. Афанасьев, Н. Н. Демченко, О. Н. Крохин и др., ЖЭТФ **72**, 170 (1977).
11. J. W. Bates, R. K. Follett, J. G. Shaw et al., High Energy Density Physics **36**, 100772 (2020).
12. M. J. Rosenberg, A. A. Solodov, J. F. Myatt et al., Phys. Rev. Lett. **120**, 055001 (2018).
13. Н. Н. Демченко, ЖЭТФ **157**, 1 (2020).
14. Е. М. Лифшиц, Л. П. Питаевский, *Физическая кинетика*, Наука, Москва (1979), с. 171.
15. С. Ю. Гуськов, Н. Н. Демченко, К. Н. Макаров и др., КЭ **41**, 886 (2011).